

8589

СООБЩЕНИЯ
ОБЪЕДИНЕННОГО
ИНСТИТУТА
ЯДЕРНЫХ
ИССЛЕДОВАНИЙ
ДУБНА



И.Гладких, Ю.М.Останевич, Л.Чер

СПЕКТРОМЕТР ДЛЯ ИССЛЕДОВАНИЯ
МАЛОУГЛОВОГО РАССЕЯНИЯ НЕЙТРОНОВ
ПО МЕТОДУ ВРЕМЕНИ ПРОЛЕТА (ТЕОРИЯ)

1975

РЗ - 8589

И.Гладких, Ю.М.Останевич, Л.Чер

**СПЕКТРОМЕТР ДЛЯ ИССЛЕДОВАНИЯ
МАЛОУГЛОВОГО РАССЕЯНИЯ НЕЙТРОНОВ
ПО МЕТОДУ ВРЕМЕНИ ПРОЛЕТА (ТЕОРИЯ)**

В нашей предыдущей публикации^{/1/} мы показали, что исследование малоуглового рассеяния нейтронов методом времени пролета/МВП/на белом пучке должно обладать рядом достоинств по сравнению с традиционным методом, использующим монохроматизацию падающего пучка. В данной работе мы получаем основные соотношения, описывающие разрешающую способность установки, ее светосилу и функцию разрешения.

Геометрия Мы рассматриваем подробно так называемую щелевую геометрию. Спектрометр содержит следующие основные элементы /рис. 1/: источник нейтронов /замедлитель/, две щели, коллимирующие пучок перед образцом, и детектор рассеянных нейтронов. Поскольку размеры замедлителя обычно существенно превышают размеры первой коллимирующей щели, мы будем представлять себе источник нейтронов в виде бесконечной плоскости, обладающей интегральной светимостью S , нейтрон/см²сек. Размеры щелей к детектора обозначим через h_{x_i} , h_{y_i} , координаты точек в плоскостях щелей и детектора - x_i, y_i ($i=1,2,3$).

Основные соотношения Целью эксперимента является измерение зависимости упругого дифференциального сечения рассеяния $d\sigma(\kappa)/d\Omega$, где $\kappa = 2k_0 \sin(\theta/2) \approx k_0\theta$; $\theta \ll 1$; $k_0 = 2\pi\lambda^{-1}$; θ - угол рассеяния, λ - длина волны нейтрона, κ - переданный импульс.

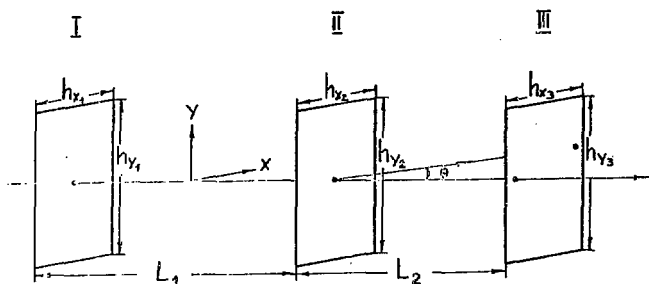


Рис. 1. Геометрия спектрометра.

Это сечение, отнесенное к одному рассеивающему объекту /например, макромолекуле в растворе/, связано определенным образом с размерами, формой и рассеивающей способностью объекта /2/:

$$\frac{d\sigma(\kappa)}{d\Omega} = V^2 (\rho_x - \rho_s)^2 |F(\kappa, R)|^2 P(\kappa, R), \quad /1/$$

где V - объем рассеивающего объекта; ρ_x и ρ_s - рассеивающая способность растворенного объекта и растворителя;

$\rho = \frac{\sum_i b_i}{V}$; b_i - амплитуда когерентного

рассеяния i -го ядра /суммирование ведется по всем ядрам в объеме V /; $|F(\kappa, R)|^2$ - формфактор, определяемый формой и внутренним строением объекта; R - некий характерный размер рассеивающего объекта; $P(\kappa, R)$ - функция, учитывающая корреляцию в расположении отдельных частиц.

Интенсивность нейтронов, рассеянных в детектор, может быть записана в следующем виде:

$$J(\kappa) = \int \dots \int N(\lambda) R_{\lambda}(\lambda - \lambda') D n_x \exp(-\Sigma_1 D) \frac{d\sigma(\kappa')}{d\Omega} dx_1 dy_1 d\Omega_2 d\Omega_3 d\lambda \times \\ \times \delta(\kappa - \kappa'), \quad /2/$$

где $N(\lambda)$ - спектральная плотность источника нейтронов $\int N(\lambda) d\lambda = S$, $R_{\lambda}(\lambda - \lambda')$ - функция разрешения по λ в МВП. D - толщина образца; n_x - плотность исследуемых частиц в образце /см⁻³/; Σ_1 - полное макроскопическое сечение ослабления пучка образцом /см⁻¹/; κ' - значение переданного импульса при каких-либо значениях всех 7 подынтегральных переменных:

$$\kappa'^2 = \left[\left(\frac{x_1 - x_2}{L_1} + \frac{x_3 - x_2}{L_2} \right)^2 + \left(\frac{y_1 - y_2}{L_1} + \frac{y_3 - y_2}{L_2} \right)^2 \right] \left(\frac{2\pi}{\lambda'} \right)^2 = \theta^2 k_0^2 \quad /3/$$

$dx_1 dy_1$ - элемент площади источника нейтронов; $d\Omega_2 = dx_2 dy_2 / 4\pi L_1^2$ - элемент телесного угла от источника на образец; $d\Omega_3 = dx_3 dy_3 / 4\pi L_2^2$ - элемент телесного угла от образца на детектор; L_1 и L_2 - первая и вторая коллимирующие базы /рис. 1/.

Разрешающая способность Разрешающая способность в опыте по малоугловому рассеянию определяется угловым и энергетическим разрешением установки. Одним из достоинств метода времени пролета является превосходное энергетическое разрешение. Поэтому при рассмотрении меры разрешающей способности - дисперсия κ

$$\sigma_{\kappa}^2 = k_0^2 \sigma_{\theta}^2 + \theta^2 \sigma_{k_0}^2 \quad /4/$$

вторым слагаемым пренебрегаем. Чтобы найти σ_{θ}^2 , воспользуемся тем, что θ - функция 6 независимых случайных переменных /см. /3//, каждая из которых распределена равномерно в пределах

$$\bar{x}_i \pm \frac{1}{2} h_{x_i}; \quad \bar{y}_i \pm \frac{1}{2} h_{y_i}; \quad i=1, 2, 3.$$

Вычисления упрощаются, если заметить, что $\kappa^2 = \kappa_x^2 + \kappa_y^2$, причем оба слагаемых однотипны и статистически независимы. Выполняя усреднение, для x -компоненты получим:

$$\begin{aligned} \overline{\kappa_x^2} &= \overline{\left(\frac{x_1 - x_2}{L_1} + \frac{x_3 - x_2}{L_2} \right)^2} k_0^2 = \\ &= \left[\frac{1}{12} \left(\frac{h_{x_1}^2}{L_1^2} + \frac{h_{x_3}^2}{L_2^2} + h_{x_2}^2 \left(\frac{1}{L_1} + \frac{1}{L_2} \right)^2 \right) + \left(\overline{x_3} \right)^2 \right] k_0^2. \end{aligned}$$

При выводе принималось: $\bar{x}_1 = \bar{x}_2 = 0$; $\overline{x_i x_k} = \bar{x}_i \cdot \bar{x}_k$; $\overline{x_i^2} = \frac{1}{12} h_i^2 + \bar{x}_i^2$;

Последнее слагаемое, очевидно, есть $\bar{\kappa}_x^2$, так что выражение для дисперсии $\sigma_{\kappa_x}^2 = \overline{\kappa_x^2} - \bar{\kappa}_x^2$ может быть получено немедленно:

$$\sigma_{\kappa_x}^2 = \frac{k_0^2}{12} \left[\frac{h_{x_1}^2}{L_1^2} + \frac{h_{x_3}^2}{L_2^2} + h_{x_2}^2 \left(\frac{1}{L_1} + \frac{1}{L_2} \right)^2 \right]. \quad /5/$$

Выражение для $\sigma_{\kappa_y}^2$ аналогично. Наконец, дисперсия

κ естественно выражается через найденные

$$\sigma_{\kappa}^2 = \frac{1}{\kappa^2} (\kappa_x^2 \sigma_{\kappa_x}^2 + \kappa_y^2 \sigma_{\kappa_y}^2). \quad /5a/$$

Последнее выражение представляет мало ценности в щелевой геометрии, т.к. разрешение по κ_y здесь всегда плохое. Однако оно вполне пригодно для так называемой "точечной" геометрии, в которой $\sigma_{\kappa_x}^2 \approx \sigma_{\kappa_y}^2$.

Оптимальная геометрия Для оптимизации геометрических характеристик спектрометра нам достаточно выражений /2/ и /5/. Отбрасывая несущественные для дальнейшего множители и заменяя их:

тегралы на некоторое среднее от подынтегральной функции, для интенсивности мы получим:

$$J = \frac{1}{L_1^2 L_2^2} h_{x_1} h_{x_2} h_{x_3} h_{y_1} h_{y_2} h_{y_3} n_x \frac{d\bar{\sigma}(\kappa)}{d\Omega} \quad /6/$$

При заданных $\sigma_{\kappa_x}^2$ и $\sigma_{\kappa_y}^2$ необходимо найти такие L_1 и h_1 , чтобы J имело максимальное значение. Результатом такой оптимизации являются следующие соотношения:

$$h_{x_1}/L_1 = h_{x_3}/L_2 = h_{x_2}/\left(\frac{1}{L_1} + \frac{1}{L_2}\right) = 2\sigma_{\kappa_x}/k_0 \quad /7/$$

$$L_1 = L_2; \quad L_1 + L_2 = L \rightarrow \infty \quad /8/$$

Для переменных "у" соотношения аналогичны.

/7/ и /8/ устакавливают оптимальные соотношения между размерами щелей и пролетными базами, выражение /8/, кроме того, требует максимального увеличения длины пролетных баз. Последний результат является естественным для бесконечного источника и остается справедливым, пока видимый размер источника не достигнет размеров замедлителя.

Довольно просто получить выражение для интенсивности при исследовании рассеивающего объекта размером R с некоторой точностью

$$\eta_x = \sigma_{\kappa_x} R; \quad \eta_y = \sigma_{\kappa_y} R; \quad /9/$$

$$J_{\text{ОИТ}} \approx SL^2 \eta_x^3 \eta_y^3 (k_0 R)^{-6} \frac{d\sigma(\kappa)}{d\Omega} \quad /10/$$

Последнее выражение любопытно в двух отношениях. При заданном уровне коллимационных искажений η_x , η_y интенсивность пропорциональна $R^{-3} \approx 1/V$, где V - объем исследуемого объекта. Хотя $d\sigma/d\Omega \sim V^2$, произведение $n_x V$ приходится выбирать умеренным /обычно $\leq 0,1$ /, для того чтобы не превышать допустимого уровня корре-

лящий в расположении отдельных частиц. Соответственно,
 $n_x \cdot d\sigma/d\Omega \sim V$.

Второй интересный аспект - зависимость интенсивности от температуры замедлителя T . Пусть спектр нейтронов, покидающих замедлитель, описывается распределением Максвелла

$$N(\lambda)d\lambda = 2S \exp(-\lambda_T/\lambda)^2 (\lambda_T/\lambda)^3 d\lambda/\lambda. \quad /11/$$

Очевидно, условие /9/ выполняется для какого-либо одного значения λ_0 . Для оценок примем, что $\lambda_0 = \sqrt{2/5} \lambda_T$, что соответствует максимуму спектральной плотности. Грубо говоря, это означает, что для половины используемого спектра ($\lambda > \lambda_0$) разрешающая способность лучше заданной, для другой половины ($\lambda < \lambda_0$) - хуже. При этом

$$J(\lambda_0) = 2SL^2 \eta_x^3 \eta_y^3 \exp(-5/2) \cdot (\frac{5}{2})^2 \lambda_0^5 (2\pi R)^6 \frac{d\sigma}{d\Omega}.$$

Поскольку $\lambda_0^2 \sim \lambda_T^2 \sim 1/T$ - в целом светосила спектрометра,

$$J(\lambda_0) \sim T^{-2,5}. \quad /12/$$

Сильная зависимость светосилы от температуры замедлителя /увеличение в $\sim 2 \cdot 10^3$ раз при понижении T от 400 до 20 K/ с одной стороны, объясняет прогресс в малоугловом рассеянии нейтронов, связанный с созданием холодных замедлителей, с другой, очевидно, что проведение исследований малоуглового рассеяния нейтронов без холодного замедлителя - весьма неэффективное занятие.

Гауссовская функция разрешения В предыдущих разделах мы пользовались мерой разрешающей способности спектрометра - дисперсиями $\sigma_{k_x}^2$ и $\sigma_{k_y}^2$. Однако для восстановления истинного закона рассеяния необходимо знать функцию разрешения $R(\vec{k}-\kappa)$. В силу независимости k_x и k_y $R(\kappa) = R_x(k_x) \cdot R_y(k_y)$. Измеренная функция $\Phi(\vec{k}_x, \vec{k}_y)$ с истинным законом рассеяния $F(\kappa)$ связана известным соотношением:

$$\Phi(\bar{\kappa}_x, \bar{\kappa}_y) = \iint F(\kappa) R_x(\bar{\kappa}_x - \kappa_x) R_y(\bar{\kappa}_y - \kappa_y) d\kappa_x d\kappa_y. \quad /13/$$

Простейший путь построения R состоит в использовании так называемого гауссовского приближения, г.е. предполагается, что R - гауссиан с дисперсией, определяемой соотношением /5/. Это приближение оправдано удобством использования аналитической функции, а также тем, что в ряде случаев оно является достаточно хорошим. В последнем разделе будет приведено точное выражение для функции разрешения, здесь мы рассмотрим свойства $\Phi(\bar{\kappa})$ в гауссовском приближении.

Пусть $F(\kappa)$ имеет форму Гинье /3/: $F(\kappa) = \exp(-\kappa^2 R^2 / 3)$. Тогда:

$$\begin{aligned} \Phi(\bar{\kappa}_x, \bar{\kappa}_y) &= \frac{1}{2\pi\sigma_x\sigma_y} \iint e^{-\frac{(\kappa_x - \bar{\kappa}_x)^2}{2\sigma_x^2}} \cdot e^{-\frac{(\kappa_y - \bar{\kappa}_y)^2}{2\sigma_y^2}} \cdot e^{-(\kappa_x^2 + \kappa_y^2) \frac{1}{3} R^2} d\kappa_x d\kappa_y = \\ &= \frac{1}{\sqrt{(1 + \frac{2}{3} R^2 \sigma_x^2)(1 + \frac{2}{3} R^2 \sigma_y^2)}} e^{-\frac{1/3 \bar{\kappa}_x^2 R^2}{1 + \frac{2}{3} R^2 \sigma_x^2}} \cdot e^{-\frac{1/3 \bar{\kappa}_y^2 R^2}{1 + \frac{2}{3} R^2 \sigma_y^2}} \end{aligned} \quad /14/$$

В щелевой геометрии обычно $\bar{y} = 0$ и $\bar{\kappa}_y = 0$, поэтому последний множитель исчезает. Для монохроматического излучения k_0^2 постоянно, поэтому предэкспоненциальный множитель - константа, не зависящая от угла рассеяния.

В координатах Гинье $-\log \Phi$ от κ^2 /результат представляется в виде прямой, из наклона которой можно определять "наблюдаемое" значение R^{*2}

$$R^{*2} = R^2 (1 + \frac{2}{3} R^2 \sigma_x^2)^{-1}$$

При условии $R^2 \sigma_x^2 \ll 1$ /хорошее разрешение/ соответствующая поправка вносится достаточно просто. В обратном случае приближение Гинье для $F(\kappa)$ несправедливо, поэтому вся процедура теряет смысл.

Анализ выражения /14/ для метода времени пролета /переменное k_0 фиксированное θ / заметно сложнее. В этом случае σ_x^2 и σ_y^2 прямо пропорциональны κ^2 , и простая линеаризация вышеописанным способом возможна лишь при $\sigma_x^2 R^2 \ll 1$ и $\sigma_y^2 R^2 \ll 1$. Последнее требование заведомо неприемлемо, т.к. теряется основное достоинство щелевой геометрии - высокая светосила. Поэтому для обработки результатов, полученных МВП, приходится применять метод наименьших квадратов непосредственно к выражению /13/ или /14/. Выбор функции $F(\kappa)$ при этом диктуется модельными соображениями, а функции разрешения R_x и R_y требуется знать достаточно точно и в форме, удобной для вычислений.

Другим следствием формулы /14/ является то, что при одновременном использовании нескольких детекторов, расположенных под разными углами, зависимости $F(\kappa)$ вообще говоря, будут получены с различными разрешающими способностями. Это обстоятельство можно расценивать двояко: с одной стороны, нельзя производить непосредственного объединения данных от нескольких детекторов, относящихся к одному и тому же значению κ . С другой - появляется реально измеренная зависимость экспериментальной кривой от разрешающей способности, которую можно использовать, например, для экстраполяции наблюдаемых параметров к идеальному разрешению.

Функция разрешения, точное выражение

Целью данного раздела является запись в явном виде функции разрешения для случая трех прямоугольных щелей произвольного размера. Ограничимся рассмотрением κ_x - компоненты. В приближении $\theta \ll 1$

где y_i - случайные величины, равномерно распределенные в интервалах шириной $2\Delta_i$ со средними значениями \bar{y}_i . Искомая функция разрешения - суть свертка вида

$$\kappa_x = \left[\frac{x_1}{L_1} + \frac{x_3}{L_2} - x_2 \left(\frac{1}{L_1} + \frac{1}{L_2} \right) \right] k_0 = y_1 + y_2 + y_3,$$

где y_i - случайные величины, равномерно распределенные в интервалах шириной $2\Delta_i$ со средними значениями \bar{y}_i . Искомая функция разрешения - суть свертка вида

$$W(y) = \int R_1(y_1 - \bar{y}_1) R_2(y_2 - \bar{y}_2) R_3(y_3 - \bar{y}_3) \delta(y_1 + y_2 + y_3 - y) dy_1 dy_2 dy_3,$$

/15/

где $R_{1,2,3}$ - прямоугольное распределение шириной 2Δ :

$$R(x) = \begin{cases} 1/2 \Delta & \text{при } \bar{x} - \Delta \leq x \leq \bar{x} + \Delta \\ 0 & \text{в остальных точках.} \end{cases}$$

Найдем общий вид свертки $n+1$ прямоугольных распределений. Для этого удобно воспользоваться системой "ступенчатых" функций $\delta_n(x)$, определяемых следующим образом:

$$\delta_n(x) = \begin{cases} x^n/n! & \text{при } x > 0 \\ 0 & \text{при } x \leq 0. \end{cases} \quad /16/$$

Эти функции относятся к классу обобщенных функций ^{/4/} и могут быть получены из обычной дельта-функции Дирака $\delta(x)$ с помощью соотношений:

$$\delta_0(x) = \int_{-\infty}^x \delta(t) dt; \quad \delta_{n+1}(x) = \int_{-\infty}^x \delta_n(t) dt. \quad /17/$$

В частности, $\delta_0(x) \equiv \theta(x) = \{1 \text{ при } x > 0, 0 \text{ при } x \leq 0\}$. Прямоугольное распределение с помощью $\delta_n(x)$ записывается следующим образом:

$$R(x) = \frac{1}{2\Delta} [\delta_0(x - \bar{x} + \Delta) - \delta_0(x - \bar{x} - \Delta)]. \quad /18/$$

Свертка $n+1$ прямоугольных распределений имеет вид:

$$W_{n+1}(y) = \frac{1}{\prod_{i=1}^{n+1} 2\Delta_i} \sum_{p_1=0}^1 \dots \sum_{p_{n+1}=0}^1 (-1)^{\sum_{i=1}^{n+1} p_i} \delta_n(y - \sum_{i=1}^{n+1} [y_i - (-1)^{p_i} \Delta_i]), /19/$$

где $p_i = 0, 1$ - индексы суммирования.

Вывод /19/ осуществляется методом индукции с использованием свойства:

$$\int_{-\infty}^{\infty} \delta_n(a-x) \delta_0(x-b) dx = \delta_{n+1}(a-b). \quad /20/$$

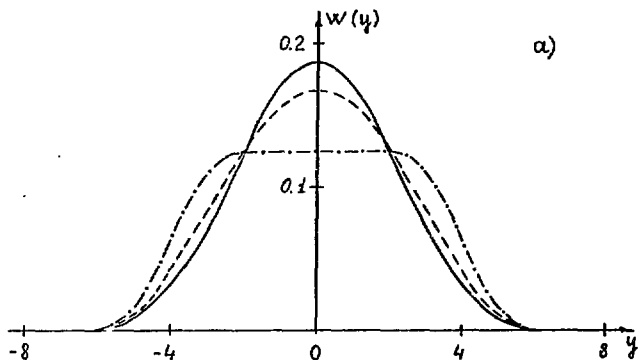


Рис. 2. Функция разрешения /19/ при

а/ $n=3$;

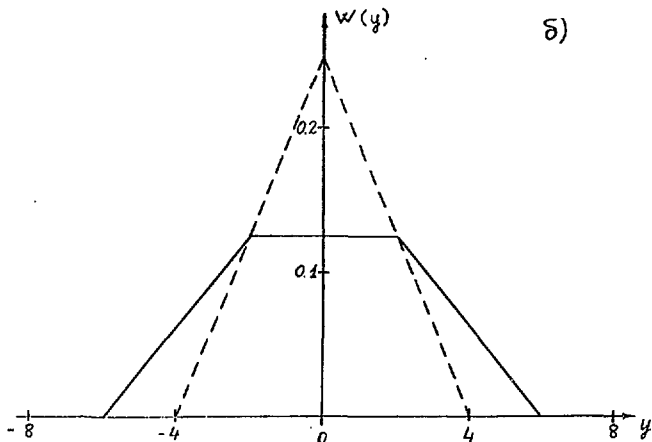
- $\Delta_1 = \Delta_2 = \Delta_3 = 2$
- - - $\Delta_1 = 1; \Delta_2 = 2; \Delta_3 = 3$
- · - · - $\Delta_1 = \Delta_2 = 1; \Delta_3 = 4$

В интересующем нас случае свертки трех распределений /19/ сводятся к $W_3(y)$ при следующих значениях параметров:

$$\bar{y}_1 = \bar{y}_2 = 0; \bar{y}_3 = \kappa_x$$

$$\Delta_1 = \frac{h_1}{L_1} \cdot \frac{\pi}{\lambda}; \Delta_2 = h_2 \left(\frac{1}{L_1} + \frac{1}{L_2} \right) \frac{\pi}{\lambda}; \Delta_3 = h_3 \frac{1}{L_2} \frac{\pi}{\lambda}. \quad /21/$$

Достоинством /19/ по сравнению с имеющимися в литературе /например, /5/ / способами нахождения $W(y)$ являются общий вид и аналитическая форма записи. Первое позволяет его легко обобщать на более сложные виды распределения интенсивности источника и эффективности



б/ $n=2$; ————— $\Delta_1 = 4$; $\Delta_2 = 2$
 - - - - - $\Delta_1 = \Delta_2 = 2$

детектора. Например, трапециевидальное и треугольное распределения - суть $W_2(y)$ при $\Delta_1 \neq \Delta_2$ и $\Delta_1 = \Delta_2$. Способ записи таков, что вычисление 2^{n+1} логических значений и соответствующих им слагаемых в /19/ легко записать в виде алгоритма для любого n . На рис. 2 мы приводим графики $W_n(y)$ для ряда значений n и Δ_i . Интересно отметить, что $W_3(y)$ похожа на гауссиан только при $\Delta_1 = \Delta_2 = \Delta_3$, что соответствует оптимальным условиям /7/. Если же какое-либо из Δ_i превалирует, аппроксимация гауссианом вряд ли допустима.

Литература

1. И.Гладких, Ж.А.Козлов, Ю.М.Останевич, Л.Чер. ОИЯИ, 3-7655, Дубна, 1974.
2. W.Schmatz, T.Springer, J.Schelten, K.Ibel. J.Appl.Cryst., 7, 96 (1974).

3. A. Guinier, G. Fournet. *Small-Angle Scattering of X-Rays*, N.-Y. J. Willey (1955).
4. "Функциональный анализ" под ред. С.Г. Крейна, серия "Справочная математическая библиотека", "Наука", М., 1972.
5. Б.А. Федоров. *Кристаллография*, 13, 763 /1968/.

*Рукопись поступила в издательский отдел
7 февраля 1975 года.*